

# miR-33s 在 NF-κB 抑制 ABCA1 表达及胆固醇流出中的作用 \*

陈 篓<sup>1)\*\*</sup> 江 婷<sup>2)\*\*</sup> 李孟奇<sup>1)</sup> 赵国军<sup>1)\*\*\*</sup>

(<sup>1</sup>桂林医学院组胚教研室, 桂林 541004; <sup>2</sup>桂林医学院教务处, 桂林 541004)

**摘要** 为探讨 miR-33s 在核因子 κB(NF-κB)抑制三磷酸腺苷结合盒转运体 A1(ABCA1)表达及胆固醇流出中的作用, THP-1 巨噬细胞源性泡沫细胞经不同浓度脂多糖(LPS)处理, 活化 NF-κB, 或以 PDTC(NF-κB 抑制剂)预处理细胞后再加入 LPS, 实时荧光定量 PCR 检测细胞 miR-33s 及其宿主基因胆固醇调节元件结合蛋白(SREBPs)的表达, 蛋白质印迹法检测 SREBPs 的蛋白表达, 染色体免疫共沉淀检测 NF-κB p65 与 SREBPs 启动子区结合情况; LPS 处理基础上, 转染 miR-33s 抑制剂或 miR-33s 模拟物, RT-PCR 检测 ABCA1 mRNA 表达水平, 蛋白质印迹法检测 ABCA1 蛋白水平, 液体质谱计数仪检测细胞内的胆固醇流出。结果显示, NF-κB 活化促进 miR-33s 及 SREBPs 的表达, 使用 PDTC 抑制 NF-κB, 细胞内 miR-33s 和 SREBPs 的表达下降; NF-κB p65 可与 SREBPs 启动子区直接结合; 转染 miR-33s 抑制剂后, NF-κB 活化对 ABCA1 的抑制作用减弱, 胆固醇流出增强; 相反, 转染 miR-33s 抑制剂, NF-κB 活化对 ABCA1 的抑制作用增强, 胆固醇流出减弱。结果提示, NF-κB 活化可促进 miR-33s 表达, 抑制 ABCA1 及胆固醇流出。

**关键词** miR-33s, 核因子 κB, 三磷酸腺苷结合盒转运体 A1, 胆固醇流出

**学科分类号** R363, R5

**DOI:** 10.16476/j.pibb.2017.0407

动脉粥样硬化(atherosclerosis, As)能导致多种致死性心脑血管疾病, 严重危害人类健康。巨噬细胞来源的泡沫细胞是 As 斑块脂质条纹期的标志, 抑制巨噬细胞脂质蓄积(泡沫化)是防治此类疾病的重要途径。巨噬细胞胆固醇代谢稳态的失衡贯穿于泡沫细胞形成的整个过程, 胆固醇流出是调节巨噬细胞胆固醇动态平衡的关键环节<sup>[1]</sup>。胆固醇流出主要由三磷酸腺苷结合盒转运体 A1(ATP-binding cassette transporter A1, ABCA1)等膜蛋白介导, 且 ABCA1 介导的胆固醇流出量占总流出量的 70% 以上<sup>[2]</sup>。

核因子 κB(NF-κB)信号途径在巨噬细胞炎症反应中起重要作用。NF-κB 可被细胞外多种刺激因素如脂多糖(lipopolysaccharide, LPS)等激活, 活化的 NF-κB 进入核内, 通过与靶基因上 NF-κB 反应元件(κBREs)结合, 调控下游靶基因的转录<sup>[3]</sup>。As 斑块处可见到活化的 NF-κB, 且主要定位于巨噬细胞

和泡沫细胞中, 许多学者认为 NF-κB 激活可能是心血管炎性疾病的共同发病环节, 抑制其活化是一个有效的治疗 As 策略<sup>[4]</sup>。然而, NF-κB 调节炎症与脂质代谢的机制尚未完全阐明。

miR-33s 位于固醇调节元件结合蛋白(sterol regulatory element-binding proteins, SREBPs)基因的内含子中, 在哺乳动物体内高度保守。miR-33s 参与体内胆固醇平衡的调节, 并通过与其宿主基因 SREBPs 一起调节胆固醇 / 脂质平衡<sup>[5]</sup>。miR-33s 的主要靶基因是 ABCA1。生物信息学分析发现在

\* 国家自然科学基金项目(81660082)和广西高校中青年教师基础能力提升项目(KY2016LX597)资助。

\*\* 并列第一作者。

\*\*\* 通讯联系人。

Tel: 18807734547, E-mail: zzhcsu@163.com

收稿日期: 2017-11-01, 接受日期: 2018-03-26

SREBPs 的启动子区域存在 κBRE(表 1), 提示 NF-κB 可能通过直接结合 SREBPs 的启动子. 因此本研究观察 NF-κB 活化对 miR-33s 及其宿主基因

SREBPs 的作用及机制, 并探讨 miR-33s 在 NF-κB 活化调控 ABCA1 及胆固醇流出中的作用.

**Table 1 Bioinformatics analysis of NF-κB binding sites in the promoter region of SREBPs**

| Animals                  | Genes  | Positions   | Sequences   | Factor name |
|--------------------------|--------|-------------|-------------|-------------|
| <i>Homo sapiens</i>      | SREBP2 | -15~-6      | GGGGAATCCC  | NF-κB       |
| <i>Mus musculus</i>      | SREBP2 | -1293~-1284 | GGGTATTCCC  | NF-κB       |
| <i>Mus musculus</i>      | SREBP2 | -47~-38     | GGGGAATTCT  | NF-κB       |
| <i>Rattus norvegicus</i> | SREBP2 | -1866~-1857 | GGGAGCCCCCT | NF-κB       |
| <i>Homo sapiens</i>      | SREBP1 | -90~-81     | GGGGTCCCCC  | NF-κB       |
| <i>Mus musculus</i>      | SREBP1 | -45~-36     | GGGAAACCCC  | NF-κB       |
| <i>Gallus gallus</i>     | SREBP1 | -646~-637   | GGGGAACCCC  | NF-κB       |
| <i>Rattus norvegicus</i> | SREBP1 | -1909~-1900 | GGGGAGTCCT  | NF-κB       |

The databases of transcriptional factors came from TRANSFAC 7 public. The binding sites of transcription factors were predicted by P-Match 1 program.

## 1 材料与方法

### 1.1 材料

人单核细胞株(THP-1)购于中国科学院上海细胞生物学研究所细胞库; LPS 购自美国 Sigma 公司; [<sup>3</sup>H]胆固醇购自 Perkin Elmer 公司; miR-33s 模拟物和抑制剂购自 Dharmacon 公司; 染色质免疫共沉淀试剂盒购自 Hyclone-Pierce 公司; Trizol 试剂盒购自美国 Gibco 公司; Reverse Transcription System 购自 Promega 公司; TaqMan microRNA assay 试剂盒(hsa-miR-33a/b)购自美国 Applied Biosystems; 核蛋白提取试剂盒购自 Pierce 公司; ABCA1、SREBP-1、SREBP-2 和 NF-κB 兔抗人一抗购自 Santa Cruze 公司; 辣根过氧化物酶标记羊抗兔二抗购自武汉博士德公司.

### 1.2 方法

#### 1.2.1 THP-1 单核细胞培养及分组

THP-1 用含 10% 胎牛血清的 RPMI-1640 培养液, 在 37℃、5% CO<sub>2</sub> 培养箱中静置培养. 在每次实验前用 160 nmol/L 佛波酯(PMA)孵育细胞 12 h, 使其诱导分化成巨噬细胞, 再用含 50 mg/L 的氧化型低密度脂蛋白(oxLDL)无血清培养基培养 48 h, 使其吞噬脂质形成巨噬细胞源性泡沫细胞. 检测抑制 NF-κB 对 miR-33s 和 SREBPs 影响时, 细胞分为 3 组: 对照组、LPS 组和 LPS+PDTC 组. LPS 组加

10 μg/L LPS 处理细胞 24 h, LPS+PDTC 组同时加 LPS 和 50 μmol/L PDTC 处理细胞 24 h. 检测抑制或过表达 miR-33s 对 ABCA1 表达和胆固醇流出影响时, 细胞分 5 组: 对照组、LPS+对照组、LPS+miR-33a 抑制剂或模拟物组、LPS+miR-33b 抑制剂或模拟物组、LPS+(miR-33a+b)抑制剂或模拟物组. 使用 Oligofectamine 转染试剂转染 60 nmol/L miR-33a/b 抑制剂(inhibitor miR-33a/b)或 40 nmol/L miR-33a/b 模拟物(mimic miR-33a/b), 对照组使用 miR-33s 抑制剂或模拟物的乱序对照(Con Inh 或 Con Mim). (LPS+)各组中, miR-33s 抑制剂或模拟物及其对照在转染 24 h 后, 更换含 10 μg/L LPS 的培养基再处理 24 h.

#### 1.2.2 实时荧光定量 PCR

按试剂盒说明操作. 人 SREBP-2 引物序列: 上游 5' GGA GAA CAT GGT GCTGA 3', 下游 5' TAA AGG AGA GGC ACA GGA 3'; 人 SREBP-1 引物序列: 上游 5' CAG CCC CAC TTC ATC AAG G 3', 下游 5' ACT GTT GCC AAG ATG GTT CCG 3'; 人 ABCA1 引物序列: 上游 5' GGT TTG GAG ATG GTT ATA CAA TAG TTG T 3', 下游 5' CCC GGA AAC GCA AGT CC 3'. 反应结束后进行扩增曲线、溶解曲线分析及结果统计. 目的基因的表达量采用  $2^{-\Delta\Delta C_t}$  方法计算, miR-33a/b 的表达用 U6 做内参照, 其余用 β-actin 做内参照.

### 1.2.3 染色体免疫共沉淀分析

THP-1 巨噬细胞在室温中用 PBS 漂洗后, 加入终浓度为 1% 的甲醛, 室温孵育 10 min. 冰上裂解细胞, 收集裂解液于 1.5 ml 的 EP 管冰上超声震动 3 次, 将染色体剪切成长约 0.2~1 kb 的片段。加入兔抗人 NF-κB p65 抗体或兔 IgG, 加入 20 μl 悬浮的 protein A 磁珠, 4°C 孵育过夜。用磁力架把磁珠 - 抗体 - 染色体复合物分离, 彻底移除上清。加入裂解缓冲液解交联 DNA 和蛋白复合体, 62°C 振荡孵育 2 h, 95°C 孵育 10 min, 冷却后用磁力架分离磁珠, 将上清转移到一个新 EP 管内。分离纯化 DNA 后, 样品用 RT-PCR 分析。

### 1.2.4 蛋白质印迹检测

收集处理后的细胞, PBS 洗涤 3 次, 用悬浮缓冲液裂解 10 min. 4°C, 10 000 r/min 离心 10 min, 小心吸出上清液, 用 BCA 法进行蛋白质定量。上清液按 4 : 1 加入 5×SDS 凝胶加样缓冲液, 100°C 孵育 10 min. 10% SDS-PAGE 电泳后电转移至 PVDF 膜上。5% 脱脂牛奶室温封闭 2 h, 分别加入 SREBP1、SREBP2、ABCA1 和 β-actin 一抗, 4°C 过夜, TBST 洗涤 30 min, 每 10 min 换液 1 次。加入辣根过氧化物酶标记的二抗, 室温孵育 1 h, TBST 洗涤 30 min, 每 10 min 换液 1 次。用蛋白质印迹法荧光检测试剂盒显示于 X 光片。

### 1.2.5 细胞胆固醇流出率检测

细胞在含 0.2 mCi/L [<sup>3</sup>H]- 胆固醇的培养液中孵育 24 h。按各实验分组的要求处理细胞后, 置含 0.1% (w/v) BSA 的培养基中培养 12 h, PBS 洗涤细胞, 再置含 25 mg/L 人血浆 apo A-I 的流出培养基中孵育 6 h。PBS 液洗涤细胞, 裂解细胞后, 用液体闪烁计数法检测培养液和细胞中的 [<sup>3</sup>H] 胆固醇。胆固醇流出率用如下公式计算: 流出率 = [培养液 cpm/(细胞 cpm + 培养液 cpm)] × 100%.

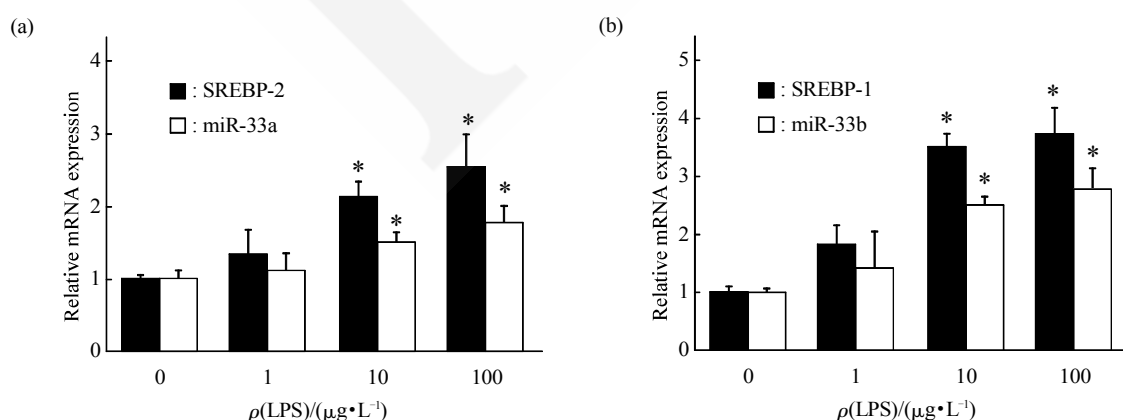
### 1.2.6 统计学分析

实验所得数据采用均数 ± 标准差 ( $\bar{x} \pm s$ ) 表示。用 SPSS 13.0 进行统计处理, 两样本均数的比较采用 *t* 检验, 多样本组间均数比较采用单因素方差分析, 以  $P < 0.05$  判定差异的显著性。

## 2 实验结果

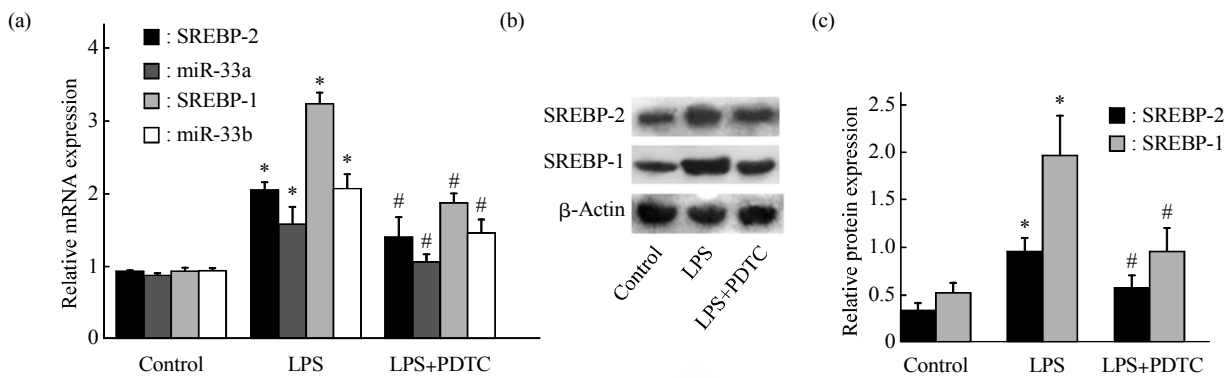
### 2.1 NF-κB 活化对细胞 miR-33s 和 SREBPs 表达的影响

采用 LPS 活化 NF-κB, 观察 miR-33a 及其宿主基因 SREBP-2 和 miR-33b 及其宿主基因 SREBP-1 的 mRNA 表达变化。结果显示, 随 LPS 浓度的增加, miR-33s 及其宿主基因 SREBPs 的表达逐渐增加(图 1)。使用 PDTC 抑制 NF-κB 活化后, miR-33s 及其宿主基因 SREBPs 的 mRNA 表达明显下降(图 2a), SREBPs 的蛋白质表达也受到抑制(图 2b, c)。



**Fig. 1 The effects of NF-κB activation on the expression of miR-33s and SREBPs mRNA in THP-1 macrophage derived foam cells**

THP-1 macrophage-derived foam cells were treated with different concentrations of LPS (0, 1, 10, 100 μg/L). The levels of miR-33a/SREBP-2 (a) and miR-33b/SREBP-1 (b) in THP-1 macrophage derived foam cells were measured by real-time PCR, respectively. The data are represented as the  $\bar{x} \pm s$ .  $n=3$  in each group. \* $P < 0.05$  vs the control group.

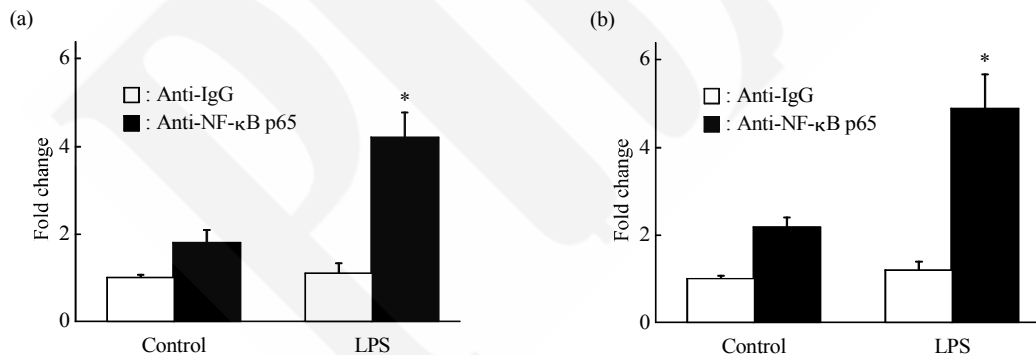


**Fig. 2 The effects of NF-κB inhibition on the expression of miR-33s and SREBPs in THP-1 macrophage derived foam cells**  
THP-1 macrophage-derived foam cells were treated with LPS or LPS+PDTC. (a) The levels of miR-33s and SREBPs mRNA in THP-1 macrophage derived foam cells were measured by RT-PCR. (b) The protein expression of SREBPs was detected by Western blot. (c) Histogram showed the SREBPs proteins expression determined by densitometric analysis respectively. The data were represented as the  $\bar{x} \pm s$ .  $n=3$  in each group. \* $P < 0.05$  vs the control group.

## 2.2 NF-κB p65 与 SREBPs 启动子区直接结合

NF-κB p65 可与 SREBPs 的启动子区直接结合, 加入 LPS 后, NF-κB p65 与 SREBPs 启动子区

含 κBRE 的结合更加显著(图 3), 提示 NF-κB 在细胞内被激活后, 可直接结合至 SREBPs 的启动子区 κBRE 部位, 进而促进 SREBPs 基因的转录.



**Fig. 3 Recruitment of NF-κB to the κBRE region of SREBPs promoter**

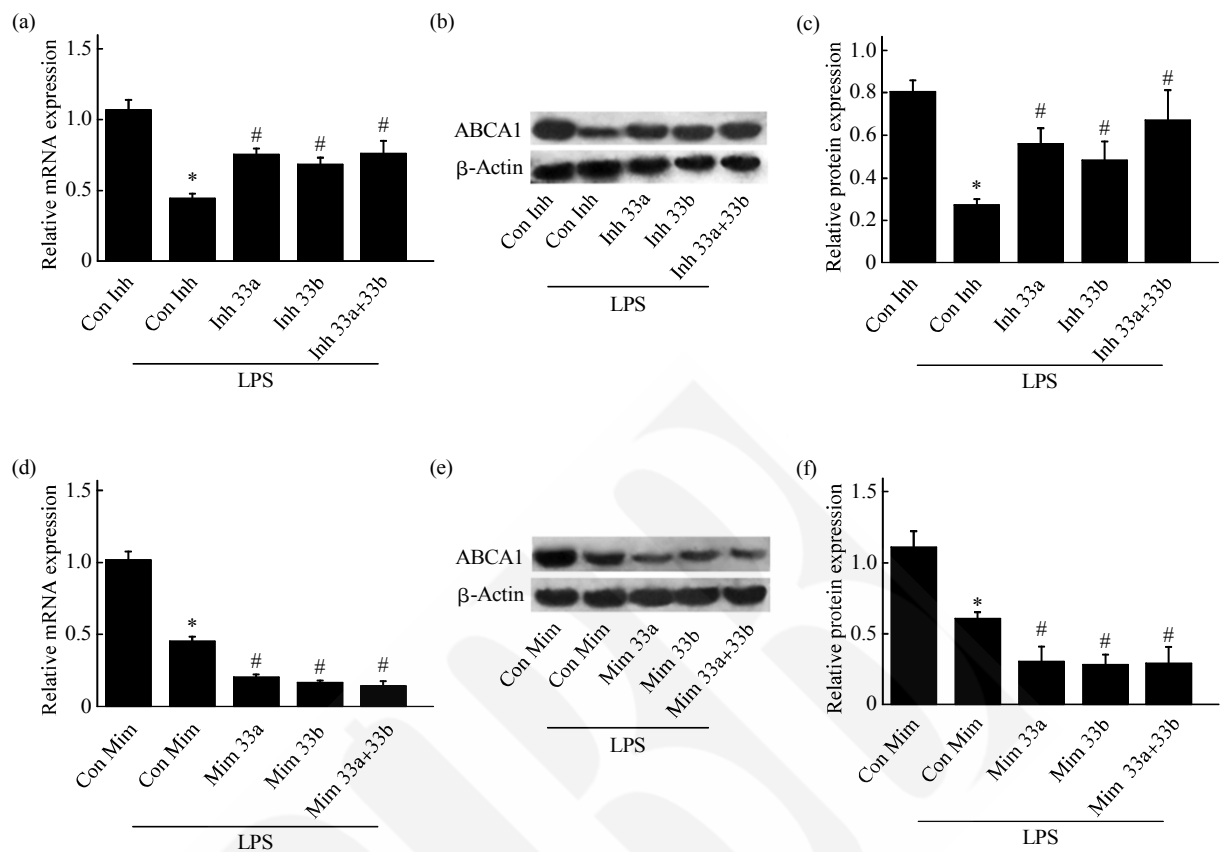
Chromatin from THP-1 cells were analyzed for the recruitment of NF-κB to the κBRE region of SREBP-2 promoter (a) and SREBP-1 promoter (b) by ChIP as described in the Experimental Procedures. \* $P < 0.05$  vs. control group

## 2.3 miR-33s 在 NF-κB 活化诱导 ABCA1 表达抑制中的作用

加入 LPS 后, ABCA1 的 mRNA 和蛋白表达均明显下降, 使用 miR-33a/b 的抑制剂处理细胞后, NF-κB 活化抑制 ABCA1 的作用减轻(图 4a~c), 转染 miR-33a/b 模拟物的细胞组, NF-κB 对 ABCA1 的抑制作用进一步加重(图 4d~f).

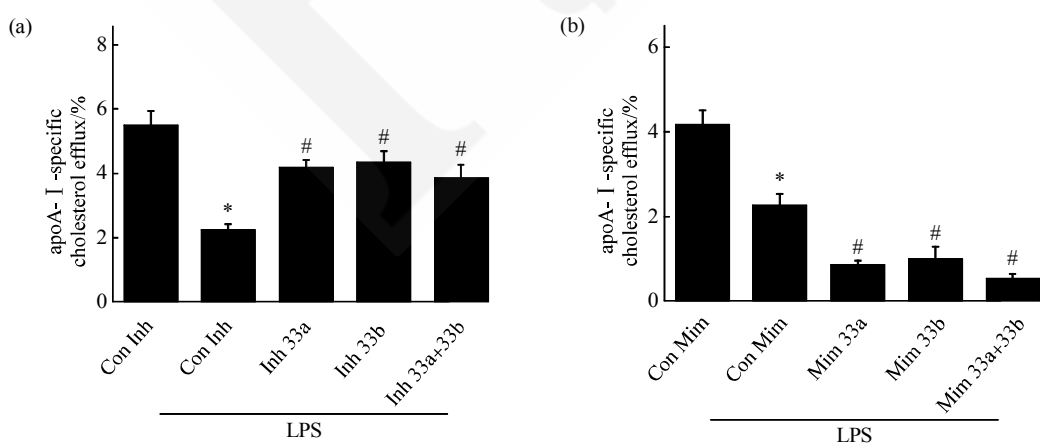
## 2.4 miR-33s 在 NF-κB 活化诱导胆固醇流出抑制中的作用

液闪计数法检测显示, 与对照组比较, NF-κB 活化可明显抑制巨噬细胞胆固醇流出, 加入 miR-33a/b 的抑制剂处理细胞后, apoA-I 介导的胆固醇流出得以部分恢复(图 5a), 转染 miR-33a/b 模拟物的细胞组, apoA-I 介导的胆固醇流出进一步受到抑制(图 5b).



**Fig. 4 The effects of miR-33s inhibition or overexpressing on ABCA1 suppression induced by NF-κB activation**

THP-1 macrophage-derived foam cells were treated with LPS, followed by treated with miR-33s inhibitor and miR-33s mimic, respectively. The levels of ABCA1 mRNA (a, d) were measured by RT-PCR and protein (b, e) by Western blotting assays. (c, f) Histogram showed the ABCA1 proteins expression determined by densitometric analysis respectively. The data were represented as the  $\bar{x} \pm s$ . Inh: Inhibitor; Mim: Mimic.  $n=3$  in each group. \* $P < 0.05$  vs the control group (Con Inh or Con Mim). # $P < 0.05$  vs. LPS group (LPS + Con Inh or LPS + Con Mim).



**Fig. 5 The effects of miR-33s inhibition or overexpressing on the cholesterol efflux suppression induced by NF-κB activation**

THP-1 macrophage-derived foam cells were treated with LPS, followed by treated with miR-33s inhibitor (a) and miR-33s mimic (b), respectively. Cellular cholesterol efflux was analyzed by liquid scintillation counting assays as described in Methods. The data were represented as the  $\bar{x} \pm s$ .  $n=3$  in each group. \* $P < 0.05$  vs the control group (Con Inh or Con Mim). # $P < 0.05$  vs. LPS group (LPS + Con Inh or LPS + Con Mim).

### 3 讨 论

miRNAs 是一类高度保守的非编码小 RNA,

主要通过与靶基因的 3' 非翻译区靶向结合, 在转录后水平降解靶基因 mRNA 或抑制蛋白质翻译。多项研究表明 miRNAs 参与调控脂质代谢及炎症因

子的表达，介导 As 的形成<sup>[6]</sup>。miR-33s 等 miRNAs 可调控机体脂代谢能力。抑制 miR-33s 的表达，低密度脂蛋白受体(LDLR)基因敲除小鼠 As 斑块面积减少<sup>[7]</sup>。深入探讨 miRNAs 在调控脂质代谢和 As 形成中的作用和机制，对于心脑血管疾病的防治具有重要的意义。miR-33s 包含 2 个内含子 miRNA 亚型，miR-33a 和 miR-33b，分别由 SREBP-2 和 1 内含子编码。SREBPs 是调节脂质代谢的重要转录因子。研究发现，当 SREBPs 被激活后，miR-33a 和 miR-33b 被共转录，并参与到细胞胆固醇外流、高密度脂蛋白(HDL)合成、脂肪酸降解及胆汁酸盐合成的过程中<sup>[8-9]</sup>。本实验发现，NF-κB 活化可促进巨噬细胞 miR-33s 及其宿主 SREBPs 的表达升高，而抑制 NF-κB 后，miR-33s 和 SREBPs 的表达明显下降，说明炎症因素参与调控脂质代谢，影响 As 的发生发展。

SREBPs 在心血管疾病发生发展中起重要作用，然而 SREBPs 在体内的调控机制还未完全阐明。生物信息学研究发现，在 SREBPs 的启动子中存在 NF-κB 的潜在结合序列，本实验通过染色体免疫共沉淀显示 NF-κB 可结合在 SREBPs 的启动子上，证实了生物信息学的推测，说明 SREBPs 是 NF-κB 活化后的靶基因，其启动子上的 κBRE 是导致 SREBPs 表达的功能性顺式作用元件。NF-κB 是炎症调节中的重要转录因子，SREBPs 是脂质代谢中的重要转录因子，二者之间的联系体现了炎症和脂质代谢之间的密切关系，炎症有可能通过调节体内脂质变化，从而影响 As 的发生发展。

miR-33s 的主要靶基因是 ABCA1。ABCA1 是介导胆固醇流出最重要的膜转运体，研究表明，miR-33s 可抑制 ABCA1 表达，减少细胞内胆固醇流出，导致泡沫细胞的形成，反之，下调 miR-33s，细胞 ABCA1 表达升高，胆固醇流出增加，泡沫细胞的形成减少<sup>[10-12]</sup>。我们之前的研究发现，NF-κB 活化抑制 ABCA1 的表达以及胆固醇流出，但其机制不明<sup>[13]</sup>。本实验中，我们发现 NF-κB 活化促进 miR-33s 及其宿主 SREBPs 的表达，进而调控 ABCA1 表达。进一步探讨 miR-33s 在 NF-κB 活化抑制 ABCA1 及胆固醇流出中的作用，发现 miR-33s 抑制后，NF-κB 活化抑制 ABCA1 及胆固醇流出的作用减轻。相反，转染 miR-33s 模拟物后，NF-κB 对 ABCA1 和胆固醇流出的抑制作用进一步加重，这些都说明 NF-κB 可通过改变 miR-33s 水平调控巨噬细胞 ABCA1 表达和胆固醇流出。

本研究揭示了 NF-κB 活化后调节巨噬细胞功能的一种新的作用模式，在调控巨噬细胞炎症以外，NF-κB 活化还能抑制 ABCA1 表达和胆固醇流出，促进巨噬细胞脂质蓄积，其机制与 NF-κB 活化调控 miR-33s 的表达有关。除了 miR-33s 外，miR-19b<sup>[14]</sup>、miR-20s<sup>[15]</sup>和 miR-758<sup>[16]</sup>等，都可以调节 ABCA1 的表达。NF-κB 能否通过激活这些 miRNAs，并调控 ABCA1，还需要具体的实验证。总之，本实验深入研究了 NF-κB 促巨噬细胞脂质蓄积的机制，有助于深入理解炎症在促 As 的重要作用，也为以 NF-κB-miR-33s 途径为靶点抑制炎症和防治 As 提供了新的实验依据。

## 参 考 文 献

- [1] 路倩, 陈五军, 尹凯, 等. 动脉粥样硬化中胆固醇外流的研究进展. 生物化学与生物物理进展, 2012, **39**(4): 319-326
- [2] Lu Q, Chen W J, Yin K, et al. Prog Biochem Biophys, 2012, **39**(4): 319-326
- [3] Adorni M P, Zimmetti F, Billheimer J T, et al. The roles of different pathways in the release of cholesterol from macrophages. J Lipid Res, 2007, **48**(11): 2453-2462
- [4] Kim E J, Lewis D J, Duvic M. Novel mutations involving NF-κB and B-cell signaling pathways in primary cutaneous large B-cell lymphoma, Leg-type and comparison with Sézary syndrome. J Invest Dermatol, 2017, **137**(9): 1831-1833
- [5] Li H, Jiao Y, Xie M. Paeoniflorin ameliorates atherosclerosis by suppressing TLR4-mediated NF-κB activation. Inflammation, 2017, **40**(6): 2042-2051
- [6] 陈五军, 尹凯, 赵国军, 等. microRNAs——脂质代谢调控新机制. 生物化学与生物物理进展, 2011, **38**(09): 781-790
- [7] Chen W J, Yin K, Zhao G J, et al. Prog Biochem Biophys, 2011, **38**(09): 781-790
- [8] Laffont B, Rayner K J. microRNAs in the pathobiology and therapy of atherosclerosis. Can J Cardiol, 2017, **33**(3): 313-324
- [9] Rayner K J, Sheedy F J, Esau C C, et al. Antagonism of miR-33 in mice promotes reverse cholesterol transport and regression of atherosclerosis. J Clin Invest, 2011, **121**(7): 2921-2931
- [10] Davalos A, Goedeke L, Smibert P, et al. miR-33a/b contribute to the regulation of fatty acid metabolism and insulin signaling. Proc Natl Acad Sci USA, 2011, **108**(22): 9232-9237
- [11] Zhang X, Fernandez-Hernando C. miR-33 regulation of adaptive fibrotic response in cardiac remodeling. Circ Res, 2017, **120** (5): 753-755
- [12] Rayner K J, Esau C C, Hussain F N, et al. Inhibition of miR-33a/b in non-human primates raises plasma HDL and lowers VLDL triglycerides. Nature, 2011, **478**(7369): 404-407
- [13] Najafi-Shoushtari S H, Kristo F, Li Y, et al. microRNA-33 and the SREBP host genes cooperate to control cholesterol homeostasis. Science, 2010, **328**(5985): 1566-1569
- [14] Rayner K J, Suarez Y, Davalos A, et al. MiR-33 contributes to the

- regulation of cholesterol homeostasis. *Science*, 2010, **328**(5985): 1570–1573
- [13] 曹冬黎, 尹凯, 莫中成, 等. 脂多糖通过核因子- $\kappa$ B 途径下调泡沫细胞 ATP 结合盒转运体 A1 的表达. 生物化学与生物物理进展, 2010, **37**(5): 540–548
- Cao D L, Yin K, Mo Z C, et al. *Prog Biochem Biophys*, 2010, **37**(5): 540–548
- [14] Lv Y C, Tang Y Y, Peng J, et al. microRNA-19b promotes macrophage cholesterol accumulation and aortic atherosclerosis by targeting ATP-binding cassette transporter A1. *Atherosclerosis*, 2014, **236**(1): 215–226
- [15] Liang B, Wang X, Song X, et al. microRNA-20a/b regulates cholesterol efflux through post-transcriptional repression of ATP-binding cassette transporter A1. *Biochim Biophys Acta*, 2017, **1862**(9): 929–938
- [16] Mandolini C, Santovito D, Marcantonio P, et al. Identification of microRNAs 758 and 33b as potential modulators of ABCA1 expression in human atherosclerotic plaques. *Nutr Metab Cardiovasc Dis*, 2015, **25**(2): 202–209

## The Role of miR-33s in ABCA1 Expression and Cholesterol Efflux Suppression Induced by Nuclear Factor-kappaB\*

CHEN Jun<sup>1)\*\*</sup>, JIANG Ting<sup>2)\*\*</sup>, LI Meng-Qi<sup>1)</sup>, ZHAO Guo-Jun<sup>1)\*\*\*</sup>

(<sup>1</sup>) Department of Histology and Embryology, Guilin Medical University, Guilin 541004, China;

(<sup>2</sup>) Dean's Office, Guilin Medical University, Guilin 541004, China)

**Abstract** To investigate the role of miR-33s in the inhibition of ATP-binding cassette transporter A1 (ABCA1) expression and cholesterol efflux induced by NF- $\kappa$ B, THP-1 macrophage-derived foam cells were treated with different concentrations of LPS to activate NF- $\kappa$ B with or without PDTC (NF- $\kappa$ B inhibitors), the mRNA expression of miR-33s and its host gene SREBPs were detected by RT-PCR, the proteins expression of SREBPs were detected by Western blot, the binding capacities of NF- $\kappa$ B p65 to SREBPs promoters were detected by chromatin immunoprecipitation. After cells were treated with LPS, miR-33s inhibitor or mimic were transfected, ABCA1 mRNA and protein were detected by RT-PCR and Western blot, respectively. The cholesterol efflux was detected by liquid scintillation counter. The results showed that expression of miR-33s and SREBPs were increased by NF- $\kappa$ B activation and decreased by adding PDTC. NF- $\kappa$ B p65 could directly combine with the SREBPs promoter. After transfected with miR-33s inhibitor, the inhibitory effect of NF- $\kappa$ B activation on ABCA1 expression was weakened, and cholesterol efflux was increased. On the contrary, the inhibitory effect on ABCA1 strengthened and cholesterol efflux decreased after transfected by miR-33s mimic. These results suggested that NF- $\kappa$ B activation could promote miR-33s expression, inhibit ABCA1 expression and cholesterol efflux.

**Key words** miR-33s, nuclear factor-kappa B, ATP-binding cassette transporters A1, cholesterol efflux

**DOI:** 10.16476/j.pibb.2017.0407

\* This work was supported by grants from The National Natural Science Foundation of China (81660082) and Project of Improving Basic Skills of Young Teachers in Guangxi Colleges and Universities (KY2016LX597).

\*\*These authors contributed equally to this work.

\*\*\*Corresponding author.

Tel: 86-18807734547, E-mail: zzhcsu@163.com

Received: November 1, 2017 Accepted: March 26, 2018